

เตาเหนี่ยวนำไฟฟ้าสองເອົ້າພຸດສໍາຫັບກວບຄຸມກຳລັງດ້ວຍການປັບແຮງດັນອສມາຕຣ

ແບບເຟສມດຸລ

Two output power control of induction cooker with full bridge inverter
controlled by asymmetrical voltage control

บุญทัน ศรีบุญเรือง

Boontan Sriboonreung

สาขาวิชาสหศิริไฟฟ้า คณะครุศาสตร์อุตสาหกรรม มหาวิทยาลัยเทคโนโลยีราชมงคลธัญบุรี

Faculty of Technical Education, Rajamangala University of Technology Thanyaburi University

Corresponding author. E-mail: boontan_123@outlook.co.th

บทคัดย่อ

บทความนี้นำเสนอเตาเหนี่ยวนำไฟฟ้าสองເອົ້າພຸດທີ່ປັບກຳລັງເອົ້າພຸດແກ້ໄຂສະດ້ວຍງຈຣເຕັມບຣິດຈົ່ງທີ່
ກວບຄຸມດ້ວຍການປັບແຮງດັນອສມາຕຣແບບເຟສມດຸລດ້ວຍໄອຊີ dsPIC30F2020 ຂະດຳກຳລັງຮົມ 1.5 ກິໂລວັດຕ
ທີ່ໃນການທີ່ຄວາມຄ່ົງ 35-40 ກິໂລເເຣີຕ໌ຈົ່ງຮັບໄຟຟ້າກະແສສລັບແບບ 1 ເຟສ 220 ໄວລຕ໌ ສາມາຮັກປັບກຳລັງແລະຄວາມຮ້ອນ
ທີ່ໃໝ່ໃນການປຽບອາຫາດໃຫ້ເປັນອີສະຈາກກັນໂດຍມີສົວຒ້າໃຈບື້ທີ່ສ່ວນສູງຄວາມຄ່ົງສູງ ແລະຂດລວດເຫັນຢ່າງນຳໃໝ່
ຄວາມຮ້ອນ ໂດຍອາຫັນຫຼັກກາຮ່ານີ້ຢ່າງໜ້າຂອງສະນາແມ່ເໜີກະຮ້າວ່າເຕາແມ່ເໜີກະໄຟຟ້າ ສາມາຮັກແສດກການປັບ
ຄ່າຮັບຄວາມຮ້ອນຂອງຊຸດເຕາເຫັນຢ່າງນຳໃໝ່ແບບສອງເອົ້າພຸດໄດ້ທ້າຮະດັບກວບຄຸມດ້ວຍການປັບແຮງດັນອສມາຕຣ
ແບບເຟສມດຸລເພື່ອແບ່ງກະຮ້າໃຫ້ຜ່ານສົວຒ້າຫຼັກ 2 ຕ້ວາ ໃຫ້ໄກລ໌ເຄີຍກັນໜຶ່ງເພີ່ມປະສິທິອົກາຟໄດ້ສິ່ງ 8 % ແລະແບ່ງ
ກະຮ້າໄດ້ຕ່າງກັນໄມ່ເກີນ 20% ຂຶ້ນກັບການໃໝ່ງານ

ຄໍາສໍາຄັນ: ເຕາເຫັນຢ່າງນຳໃໝ່ແບບສອງເອົ້າພຸດ ການປັບແຮງດັນອສມາຕຣແບບສມດຸລ ຂດລວດເຫັນຢ່າງນຳ

ABSTRACT

This paper presents the two independent power induction furnaces that independently adjust the output power of the full bridge circuit, controlled by asymmetrical voltage cancellation and phase balance control with dsPIC30F2020 IC, total power 1.5 kW. AC 220 V single phase power can adjust the power and heat used to cook food independent of each other that can adjust the power and heat used to cook independently of each other with the IGBT switch generates high-frequency signals and heat-induced coils. Use the induction principle of the magnetic field between the induction cooker can adjust the heat level output has five levels controlled by adjusting the asymmetrical phase balance voltage to divide the current

Received 22-09-2018
Revised 03-04-2019
Accepted 08-05-2019

flowing closely through two main switches, which increases efficiency around 8 percentage and it can divide up to 20% difference depending on usage.

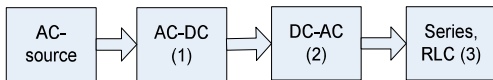
Keyword: Two induction cookers, Asymmetrical voltage and phase balance control, Induction coil

1. บทนำ

ปัจจุบันงานประยุกต์ใช้อิเล็กทรอนิกส์กำลังได้เข้ามามีบทบาทในงานอุตสาหกรรมงานเกษตร เช่น งานขับเคลื่อนมอเตอร์ ระบบจ่ายไฟสำรองและเครื่องหลอมโลหะเป็นต้น นอกจากนี้ยังได้ประยุกต์ใช้ในเครื่องใช้ไฟฟ้าภายในบ้าน เช่น เตาหุงต้มแบบเหนี่ยวแน่น ความร้อน อุปกรณ์สวิตช์ที่ทำหน้าที่ส่งจ่ายกำลังไฟฟ้า ให้กับภาระโหลด เช่น มอสเฟต (MOSFET) หรือ ไอจีบีที (IGBT) เป็นต้น ในส่วนโหลดของเตาหุงต้ม ส่วนใหญ่จะเป็นชุดลดลงที่มีค่าความต้านทานและค่าความเหนี่ยวแน่นที่ต่อนุกรมกับตัวเก็บประจุความถี่สูง การให้ความร้อนทำได้โดยใช้อินเวอร์เตอร์ทำหน้าที่จ่ายกำลังไฟฟ้าให้กับชุดลดลงเพื่อเหนี่ยวแน่นความร้อน ไปยังภาชนะที่มีสารความเป็นแม่เหล็ก [1,2] โครงสร้างโดยรวมของอินเวอร์เตอร์แสดงดังภาพที่ 1 ประกอบด้วย ส่วนที่แรกคือเรกติฟายทำหน้าที่เปลี่ยน แรงดันไฟฟ้ากระแสสลับเป็นแรงดันไฟฟ้ากระแสตรง ส่วนที่สองส่วนของอินเวอร์เตอร์ทำหน้าที่เปลี่ยน แรงดันไฟฟ้ากระแสตรงเป็นแรงดันไฟฟ้ากระแสสลับ โดยการทำงานของสวิตช์กำลัง ส่วนที่ 3 โหลดอนุกรม เรโซแนนซ์ ชนิดของอินเวอร์เตอร์ที่ใช้ในเตาหุงต้ม ไฟฟ้า เช่น วงจรคลาสอี ที่ใช้สวิตช์กำลังเพียงหนึ่งตัว ทำหน้าที่ส่งจ่ายกำลังไฟฟ้า [1] ซึ่งจะชนิดนี้จะให้เกิดแรงดันสูงต่ำคร่อมสวิตช์และในกรณีว่างการทำงาน ต่อเนื่องเป็นเวลานาน ๆ อาจจะทำให้สวิตช์กำลังเกิดความร้อนและเกิดเสียหายได้ อินเวอร์เตอร์แบบกึ่ง บริจ์ประกอบด้วยสวิตช์กำลังสองตัวแต่จะได้ กำลังไฟฟ้าขนาดกลาง [2] และสำหรับงานให้ความ

ร้อนแบบเหนี่ยวแน่นที่ต้องการกำลังที่สูงขึ้น อินเวอร์เตอร์แบบเต็มบริดจ์จะถูกนำมาใช้งาน ซึ่งจะประกอบด้วยสวิตช์กำลังสี่ตัวดังภาพที่ 3 อินเวอร์เตอร์ชนิดนี้จะได้กำลังมากกว่าสองชนิดที่กล่าวมา ซึ่งหมายความว่าให้โหลดที่ต้องการกำลังมาก วิธีการควบคุมอินเวอร์เตอร์แบบเต็มบริดจ์ต้องการที่จะปรับกำลังไฟฟ้าด้านนอกของอินเวอร์เตอร์สามารถทำได้โดยการควบคุมสัญญาณขับนำสวิตช์อิเล็กทรอนิกส์ กำลัง เช่น การเลื่อนเฟส (Phase-shift control, PS) [3] การปรับความกว้างของพัลส์ (Asymmetrical duty cycle control, ADC) [4] และการควบคุมแรงดันแบบไม่สมมาตร (Asymmetrical voltage-cancellation control, AVC) [5] การควบคุมแต่ละวิธีที่กล่าวมานี้จะต้องให้ความถี่สวิตช์มากกว่าความถี่เรโซแนนซ์ของภาระโหลด เพื่อให้สวิตช์นำกระแสที่แรงดันเป็นศูนย์ [6-9] ประโยชน์คือลดกำลังสูญเสียที่สวิตช์กำลัง และความถี่สวิตช์ที่ใช้จะต้องมากกว่า 20 kHz เพื่อลดขนาดของอุปกรณ์อิเล็กทรอนิกส์ [10-12]

สำหรับงานหุงต้มแบบเหนี่ยวแน่นที่ต้องการส่องเอาร์พุดสำหรับประกอบอาหารจะที่ถูกเลือกใช้จะเป็นวงจรอินเวอร์เตอร์แบบเต็มบริดจ์โดยการเพิ่มกึ่งและเอาร์พุดดังภาพที่ 6 [2] โดยการควบคุมจะเป็นแบบการควบคุมแรงดันแบบไม่สมมาตร (Asymmetrical Voltage-Cancellation control, AVC) [5] ซึ่งหลักการดังกล่าวมีผลต่อสวิตช์หลักเกิดความไม่เท่ากันในวงจรซึ่งอาจทำให้เกิดความเสียหายที่สวิตช์หลักได้

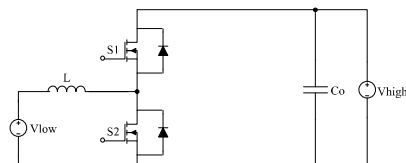


ภาพที่ 1 โครงสร้างของอินเวอร์เตอร์

เพื่อการพัฒนาการยืดอายุการใช้งานเตาเหนียวนาโดยปรับสมดุลกระแสและความร้อนที่สวิตช์หลักให้สมดุลกัน งานวิจัยนี้จึงนำเสนอเตาเหนียวนาไฟฟ้าสองເອarter พุตที่ปรับกำลังເອarter พุตแยกอิสระด้วยวงจรเต้มบริดจ์ที่ควบคุมด้วยการปรับแรงดันอสมมาตรแบบเฟสสมดุล ด้วยไอซี dsPIC30F2020 ขนาดกำลังรวม 1.5 กิโลวัตต์ ทำงานที่ความถี่ 35-40 กิโลเฮิรตซ์ รับไฟฟ้ากระแสสลับแบบ 1 เฟส 220 โวลต์ ได้ สามารถปรับกำลังและความร้อนที่ใช้ในการปรุงอาหารให้เป็นอิสระจากกันได้ โดยมีสวิตช์ไอจีบีที่สร้างสัญญาณความถี่สูง และมีเตาเหนียวนาไฟฟ้าหรือเตาแม่เหล็กไฟฟ้าให้ความร้อน โดยอาศัยหลักการเหนียวนาของสนามแม่เหล็กระหว่างเตาแม่เหล็กไฟฟ้าและภาชนะที่เหนียวนาไฟฟ้า เช่น เหล็ก เพราจะนัน หากภาษาที่นำมาใช้มีคุณสมบัติในการเหนียวนาแม่เหล็กจะไม่สามารถทำให้เกิดความร้อนได้ ความร้อนจะเกิดขึ้นจากการเหนียวนาที่ขาด漉ดและส่งผ่านไปที่ภาชนะที่เหนียวนาไฟฟ้าทำให้สามารถทำงานที่อุณหภูมิต่าง ๆ ได้อย่างแม่นยำ มีความทันสมัย และเพิ่มความสะดวกสบายอย่างมากในการประกอบอาหารต่าง ๆ หมายเหตุจะใช้ทำอาหารหลายชนิด

2. วิธีดำเนินการวิจัย

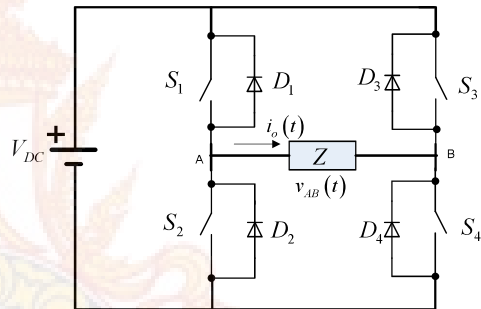
2.1 วงจรอินเวอร์เตอร์เต้มบริดจ์ทั่วไป



ภาพที่ 2 วงจรอินเวอร์เตอร์เรโซแนนซ์แบบครึ่งบริดจ์

วงจรอินเวอร์เตอร์เรโซแนนซ์แบบครึ่งบริดจ์แสดงในภาพที่ 2 ซึ่งเป็นวงจรประกอบด้วยสวิตช์สองตัวสามารถประยุกต์ใช้ในงานชาร์จประจุแบบเตอร์แบบสองทิศทางได้และในทางกลับกันก็สามารถนำมาใช้เป็นวงจรอินเวอร์เตอร์ได้ [12-17]

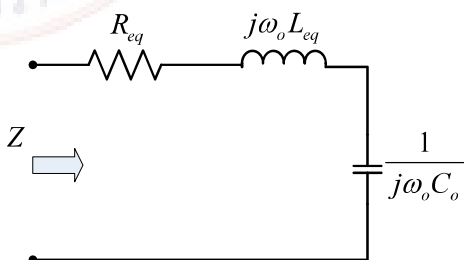
ในภาพที่ 3 แสดงวงจรอินเวอร์เตอร์แบบเต้มบริดจ์ ประกอบด้วยสวิตช์กำลังสี่ตัวที่แต่ละตัวมีไดโอดต่อขาน และจ่ายกำลังให้กับอิมพีเดนซ์โหลด (Z) แรงดันตกคร้อมโหลดอนุกรมเรโซแนนซ์ $v_{AB}(t)$ และกระแสที่โหลดผ่านโหลด $i_o(t)$ ที่ต่อในลักษณะอนุกรมดังภาพที่ 3



ภาพที่ 3 วงจรอินเวอร์เตอร์แบบเต้มบริดจ์

2.2 โหลดอนุกรมเรโซแนนซ์

โหลดอนุกรมเรโซแนนซ์แสดงในภาพที่ 4 ประกอบด้วย ความต้านทานสมมูลย์ R_{eq} ความเหนียวนาโหลด และตัวเก็บ L_{eq} ประจุ C_o



ภาพที่ 4 วงจรอนุกรมเรโซแนนซ์

จากภาพที่ 4 สามารถหาค่าออมปีเดนซ์ดังสมการที่ (1)

$$Z = R_{eq} + j \left(\omega_s L_{eq} - \frac{1}{\omega_s C_o} \right) \quad (1)$$

$$Z = R_{eq} \left(1 + j Q_L \left(\omega_n - \frac{1}{\omega_n} \right) \right) \quad (2)$$

โดยที่ ω_o ความความถี่เชิงมุมที่เรโซแนนซ์และ ω_s ความความถี่เชิงมุมที่สวิตช์ ค่าขนาดของออมปีเดนซ์แสดงในสมการที่ (3)

$$|Z| = R_{eq} \sqrt{1 + Q_L^2 \left(\omega_n - \frac{1}{\omega_n} \right)^2} \quad (3)$$

และมุมเฟสของกระแสแสดงดังสมการที่ (4)

$$\varphi = \tan^{-1} \left(Q_L \left(\omega_n - \frac{1}{\omega_n} \right) \right) \quad (4)$$

ค่าโคลดเฟคเตอร์ของโคลดอนกุร์มเรโซแนนซ์แสดงในสมการที่ (5)

$$Q_L = \frac{\omega_o L_{eq}}{R_{eq}} \quad (5)$$

ความถี่เรโซแนนซ์แสดงในสมการที่ (6)

$$f_o = \frac{1}{2\pi \sqrt{L_{eq} C_o}} \quad (6)$$

หรือความถี่เรโซแนนซ์ในรูปหน่วยความถี่เชิงมุมแสดงในสมการที่ (7)

$$\omega_o = \frac{1}{\sqrt{L_{eq} C_o}} \quad (7)$$

ความถี่เชิงมุมของความถี่สวิตช์แสดงในสมการที่ (8)

$$\omega_s = 2\pi f_s \quad (8)$$

ความถี่ปกติคืออัตราส่วนของความถี่สวิตช์ต่อความถี่เรโซแนนซ์แสดงในสมการที่ (9)

$$\omega_n = \frac{\omega_s}{\omega_o} \quad (9)$$

2.3 กำลังไฟฟ้าของโหลด

ในภาพที่ 4 แสดงรูปคลื่นกระแส (i_o) และแรงดันของอินเวอร์เตอร์ (v_{AB}) ในหนึ่งรอบที่และขณะที่อินเวอร์เตอร์ทำงานจะได้ลักษณะของรูปคลื่นกระแสและแรงดันซ้ำๆ ควบคู่กับการทำงานจากภาพที่ 4 สามารถเขียนสมการแรงดันของ $v_{AB}(t)$ ดังสมการที่ (10)

$$v_{AB}(t) = V_{AB,1} \sin \omega_s t \quad (10)$$

เมื่อแรงดัน $V_{AB,1}$ คือแรงดันมุลฐานแสดงดังสมการที่ (11)

$$V_{AB,1} = V_m = \frac{4V_{DC}}{\pi} \quad (11)$$

และสามารถแสดงสมการของกระแส ดังสมการที่ (12)

$$i_o(t) = I_m (\sin \omega_s t - \varphi) \quad (12)$$

วงจรอินเวอร์เตอร์แบบเต็มบริดจ์จะได้ค่ากำลังไฟฟ้าดังสมการที่ (13)

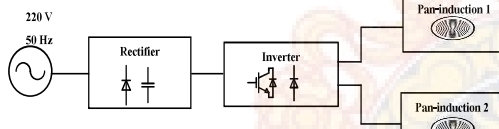
$$P_o = I_{rms}^2 R_{eq} \quad (13)$$

$$\text{เมื่อ } I_{rms} = \frac{I_m}{\sqrt{2}} = \frac{4V_{DC}}{\pi\sqrt{2}|Z|} \quad (14)$$

เอสมการที่ (3) และ สมการที่ (14) จะได้สมการ กำลังไฟฟ้าด้านออกของอินเวอร์เตอร์ ดังสมการที่ (15) หรือ (16)

$$P_o = \left[\frac{4V_{DC}}{\pi\sqrt{2}|Z|} \right]^2 R_{eq} \quad (15)$$

$$P_o = \frac{8V_{DC}^2}{\pi^2 R_{eq} \left(1 + Q_L^2 \left(\omega_n - \frac{1}{\omega_n} \right)^2 \right)} \quad (16)$$

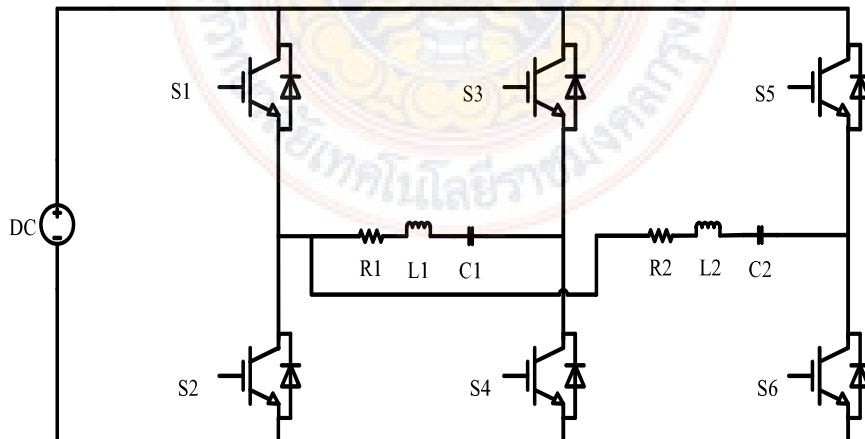


ภาพที่ 5 โครงสร้างเตาเหนี่ยวนำไฟฟ้า

เตาเหนี่ยวนำไฟฟ้าโดยอาศัยความร้อนจาก การเหนี่ยวนำไฟฟ้าที่ใช้อินเวอร์เตอร์ชนิดแหล่งจ่าย แรงดันแบบเต็มบริดจ์สองເອົາຕຸພູມມີລັກຂະນະ ໂຄງຮ່າງຂອງວົງຈະປະກອບດ້ວຍສ່ວນຕ່າງ ๆ ດັ່ງລືອກໄດ້ອະແກມກາພທີ 1 ຈຶ່ງສາມາດອອິບາຍ ຮາຍລະເວີດຂອງແຕ່ລະສ່ວນຂອງວົງຈະໄດ້

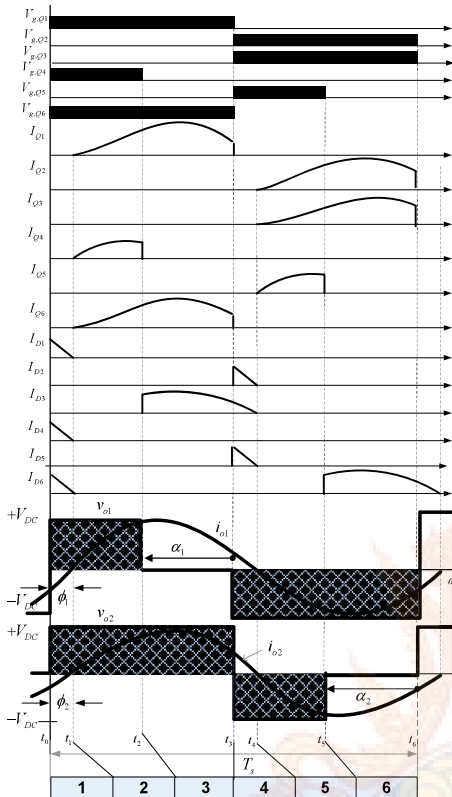
2.4 วงจรอินเวอร์เตอร์เต็มบริดจ์แบบสองເອົາຕຸພູມທີ່ມີການປັບແປງດັນແບບອສມາຕີ

วงจรินเวอร์เตอร์ซິ່ງມີໜ້າທີ່ຫຼັກຄືອ່າຍ กำລັງໄຟຟ້າຄວາມຄືສູງໃຫ້ແກ້ໄລດທາງດ້ານເອົາຕຸພູມຊື່ມີ ສອງເອົາຕຸພູມໂດຍໃນວົງຈະອົນເວົ້ວເຕົກນັ້ນຈະມີດ້ວຍກຳນົດ ອູ້ໜ່າຍແບບແຕ່ໃນທີ່ນີ້ຈະກ່າວເຂົາພາວະວົງຈະ ອົນເວົ້ວເຕົກນັ້ນເຕີມບຣິດຈີ່ເທົ່ານັ້ນເນື່ອງຈາກເປັນວົງຈະ ທີ່ເລືອກໃຊ້ໃນຈານນີ້ຊື່ມີລັກຂະນະການຕ່ອງຈະດັ່ງການທີ່ 6 ຈະເຫັນໄດ້ວ່າວົງຈະປະກອບໄປດ້ວຍສົວົງທັງໝົດ 6 ຕັ້ນໜີ້ສົວົງ S1, S2, S3, S4, S5 ແລະ S6 ໂດຍ ຈະມີລັກຂະນະການທຳກຳດັ່ງນີ້ຕີ້ວ່າເອົາຕຸພູມຕົວທີ່ທີ່ນີ້ຈະ ໃຊ້ຄູ່ສົວົງ S1, S4 ແລະ S2, S3 ທີ່ເອົາຕຸພູມຕົວທີ່ສອງໃໝ່ ຄູ່ສົວົງ S1, S6 ແລະ S2, S5 ແລະ ຈະທຳກຳເປີດ-ປິດ (ON – OFF) ສັບກັນໄປເພື່ອແປລັງແປງດັນໄຟຟ້າ ກະຮະສົດຮຽນເປັນແປງດັນໄຟຟ້າກະແສສລັບຄວາມຄືສູງ



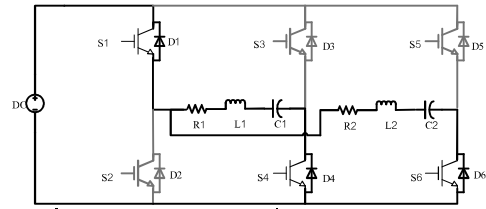
ภาพที่ 6 ວົງຈາກແຫລ່ງຈ່າຍໄຟຟ້າກະແສສລັບຄວາມຄືສູງ

2.5 โหมดการทำงานของวงจรอินเวอร์เตอร์ที่นำเสนอ

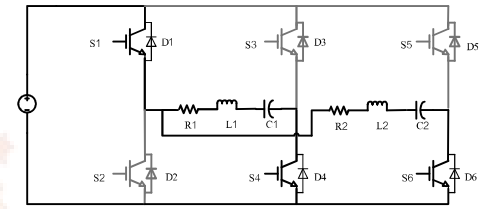


ภาพที่ 7 รูปลักษณะการกระแสแรงดัน ที่โหมดการทำงานของสวิตซ์ 6 โหมด

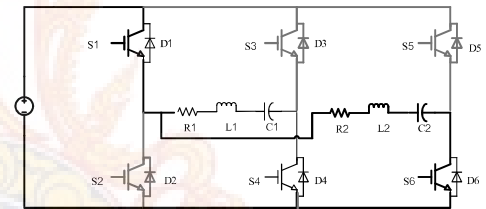
ลักษณะการทำงานของการควบคุมแบบอสมมาตร แบบเฟสสมดุล แสดงตั้งภาพที่ 8 โดยแสดงให้เห็นว่าในโหมดที่ 1 และ 5 จะมีกระแสไฟหล่อผ่านสวิตซ์หลัก S1 และ S2 ใกล้เคียงกันขึ้นกับการปรับอัตรากำลัง โดยลักษณะการทำงานของวงจรการเปิดปิดของสวิตซ์แสดงตั้งภาพที่ 9-15



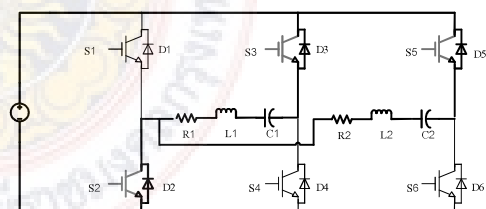
ภาพที่ 8 โหมดการทำงานที่ 1 ไดโอด D1, D4, D6 นำกระแส สวิตซ์ S1, S4 และ S6 ไม่นำกระแส



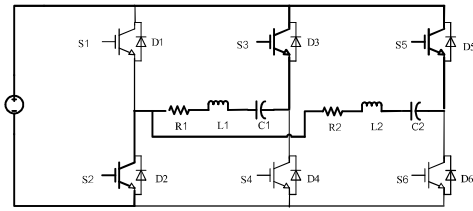
ภาพที่ 9 โหมดการทำงานที่ 2 ไดโอด D1, D4, D6 หยุดนำกระแส และสวิตซ์ S1, S4 และ S6 นำกระแส



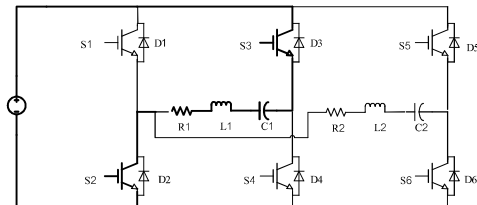
ภาพที่ 10 โหมดการทำงานที่ 3 สวิตซ์ S4 หยุดนำกระแส



ภาพที่ 11 โหมดการทำงานที่ 4 สวิตซ์ S1, S4 และ S6 หยุดนำกระแส ไดโอด D1, D4, D6 นำกระแส



ภาพที่ 12 โหมดการทำงานที่ 5 สวิตช์ S2, S3 และ S5 นำกระแส



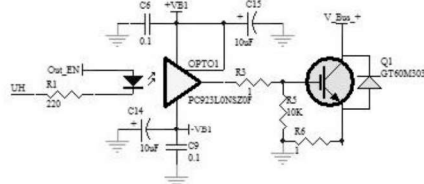
ภาพที่ 13 โหมดการทำงานที่ 6 สวิตช์ S2, S4 ยังคงนำกระแส ในขณะที่สวิตช์ S5 หยุดนำกระแสเพื่อปรับกำลังเอาต์พุตที่ 2

เนื่องจากในงานวิจัยนี้ใช้ความถี่ในการสวิตช์สูงประมาณ 40 กิโล赫ertz จึงเลือกใช้อิอยีบีในสวิตช์ ในโครงงานนี้ต้องการใช้กำลังไฟฟ้าประมาณ 1.5 กิโลวัตต์ จะมีกระแสที่แหล่งผ่านสวิตช์แต่ละตัวจะมีค่าอยู่ประมาณ 10 แอม培ร์ ขนาดของแรงดันต่อกคร่อมสวิตช์มีค่าอยู่ประมาณ 311 โวลต์ จึงเลือกใช้อิอยีบีเบอร์ GT60M303 ซึ่งมีพิกัดกระแส 20 แอม培ร์ที่อุณหภูมิทำงาน 25 องศาเซลเซียส พิกัดแรงดัน 600 โวลต์

2.6 วงจรขับนำเกต

วงจรขับนำเกตดังภาพที่ 14 แสดงวงจรขับเกตที่ใช้งานจริง ใช้ตัวแยกโดยตรงทางแสงเพื่อแยกโดยตรงระหว่างวงจรควบคุมกับวงจรกำลัง สัญญาณขับนำจากการควบคุมจะเป็นตัวขับแล็ปอีดิที่อยู่ในตัวแยกโดยตรงทางแสงเพื่อไปอัสให้กับทรานซิสเตอร์ Tr₁ ภายในให้นำกระแส และในขณะเดียวกัน

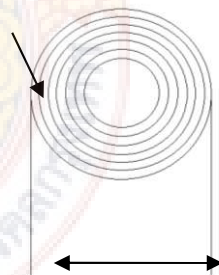
ทรานซิสเตอร์ Tr₂ หยุดนำกระแส ทำให้มีกระแสไหลผ่านความต้านทานไปจ่ายแรงดันขาเกต



ภาพที่ 14 วงจรขับนำเกตที่ใช้งานจริง

2.7 การออกแบบชุดโหลดเรโซแนนซ์

โดยที่ว่าไปแล้วชุดโหลดเหนี่ยวนำจะทำขึ้นจากทองแดง ทั้งนี้เพราะทองแดงเป็นตัวนำไฟฟ้าได้ดีทำให้มีกำลังสูญเสียในชุดโหลดเหนี่ยวนำต่ำ ซึ่งจะมีผลทำให้ระบบมีประสิทธิภาพสูงอย่างไรก็ได้เนื่องจากความหนาแน่นของกระแสในชุดโหลดเหนี่ยวนำมีค่าสูง ความร้อนที่เกิดจากการกระแสที่ไหลในชุดโหลดเหนี่ยวนำจะมีค่ามาก เนื่องจากกระแสที่ชุดโหลดเหนี่ยวนำมีค่าสูง ชุดโหลดเหนี่ยวนำที่ออกแบบและสร้างขึ้นมีลักษณะเป็นดังภาพที่ 15



เส้นผ่าศูนย์กลาง 17 เซนติเมตร

ภาพที่ 15 ชุดโหลดเหนี่ยวนำที่ได้ออกแบบและสร้าง

2.8 การออกแบบชุดเรโซแนนซ์

วงจรกำลังของชุดแหล่งจ่ายพลังงานแสงอาทิตย์สำหรับกล้องวงจรปิดจะประกอบไปด้วย

อุปกรณ์ที่สำคัญ คือตัวเหนี่ยวนำเรโซแนนซ์ตัวเหนี่ยวนำที่เลือกที่สุดของวงจร ตัวเก็บประจุเรโซแนนซ์ ตัวเก็บประจุทางด้านออก อุปกรณ์ที่ทำหน้าที่สวิตช์ วงจรกำลังต้องมีความสามารถทำงานได้ที่ความถี่ 20 กิโลเฮิรตซ์ซึ่งเป็นความถี่ที่เหมาะสมในการสวิตช์ของ อุปกรณ์สวิตช์ ในวงจรกำลังจะประกอบไปด้วย การออกแบบส่วนต่าง ๆ

จากข้อมูลเห็นว่าที่ได้ออกแบบไปใน หัวข้อที่ผ่านมา นำไปวัดด้วยเครื่องวัดค่า ความเห็นว่า ซึ่งค่าที่ได้เป็นค่าโดยประมาณ ใน งานวิจัยนี้ได้ใช้เครื่องวัดรุ่น HIOKI 3532-50 LCR HITESTER โดยเลือกใช้ความถี่ที่เครื่องวัดมีอยู่ 40 กิโลเฮิรตซ์ ค่าความเห็นว่าที่ได้มีค่าโดยประมาณ L_{coil} มีค่า 58.57 ไมโครเหนรี ค่าที่ได้นี้อาจมี ความคลาดเคลื่อนจากเครื่องวัด ดังนั้นจึงไปเลือก ขนาดของค่าตัวเก็บประจุที่ความถี่เรโซแนนซ์ 40 กิโลเฮิรตซ์ ดังนี้

$$\text{จาก } f = \frac{1}{2\pi\sqrt{LC}}$$

$$\text{ดังนั้น } C_r = \frac{1}{4\pi^2 f^2 L}$$

$$C_r = \frac{1}{4\pi^2 (40 \times 10^3)^2 (58.57 \times 10^{-6})}$$

$$C_r = 0.27 \mu F \approx 0.3 \mu F$$

เมื่อ f คือความถี่เรโซแนนซ์หน่วยคือ เฮิรตซ์ (Hz)

C_r คือ ค่าตัวเก็บประจุเรโซแนนซ์หน่วยคือ ฟาร์ด (F)

จะได้ค่าตัวเก็บประจุประมาณ 0.3 ไมโครฟาร์ด เพราะฉะนั้นจะใช้ตัวเก็บประจุขนาด 0.3 ไมโครฟาร์ด จำนวน 2 ตัว ค่าที่ได้นี้จะต่างกับค่าที่

คำนวณได้ เนื่องมาจากค่าของตัวเก็บประจุที่มีข้ออยู่ และลักษณะการติดตั้งตัวเก็บประจุที่ขาด漉ดเห็นว่า ดังนั้นจึงเลือกใช้ตัวเก็บประจุที่มีค่า 0.3 ไมโครฟาร์ด

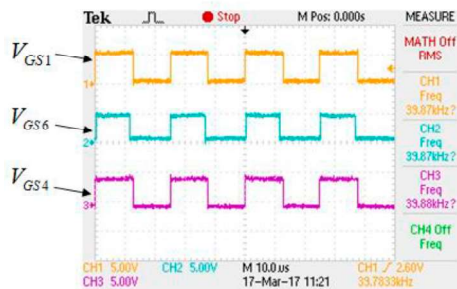
ตารางที่ 1 รายการและข้อมูลทั่วไปที่ใช้ในการ จำลองและการทดลอง

รายละเอียด	กำหนดการ
แรงดันด้านต่อ (V_{in})	5-6 โวลต์
ค่าความจุด้านเข้า (C_i)	220 ไมโครฟาร์ด
ค่าความเห็นว่าเก็กที่สุด (L_{min})	190 ไมโครเหนรี
ค่าความจุเรโซแนนซ์ (C_r)	10 นาโนฟาร์ด
ค่าความเห็นว่าเรโซแนนซ์ (L_r)	5 ไมโครเหนรี
ค่าความจุด้านออก (C_o)	220 ไมโครฟาร์ด
ค่าความต้านทานโหลด (R_{Load})	20 โอห์ม
แรงดันด้านสูง (V_o)	8 โวลต์
ตัวตีเซเคิล (D)	38 เปอร์เซ็นต์
ความถี่ (f)	20 กิโลเฮิรตซ์

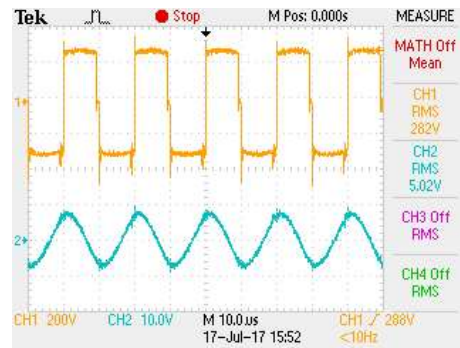
3. ผลการวิจัยและวิจารณ์ผล

3.1 การทดสอบภาคควบคุมการทำงานของ อินเวอร์เตอร์

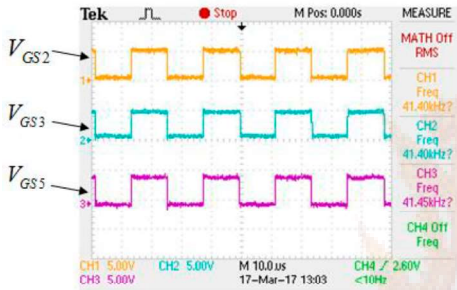
การทดสอบสัญญาณขับเกตของไอจีบีที ทั้งสองตัวนั้นจะต้องมีช่องว่างของช่วงเวลาวิกฤต อยู่เล็กน้อยเพื่อป้องกันการลัดวงจรของอินเวอร์เตอร์ โดยในที่นี้มีค่าอยู่ประมาณ 2 ไมโครวินาทีซึ่งเหมาะสม กับค่าการทำงานและหยุดทำงานของไอจีบีที ลักษณะ สัญญาณขับไอจีบีทีทั้งสองตัวที่ได้จากการวัดแสดงดังภาพที่ 16 และ 17



ภาพที่ 16 สัญญาณขับไอลีบีที่ S1, S6 และ S4 (V_{GS1} :5V/div, V_{GS6} :5V/div, V_{GS4} :5V/div, Time :10 μ s /div)



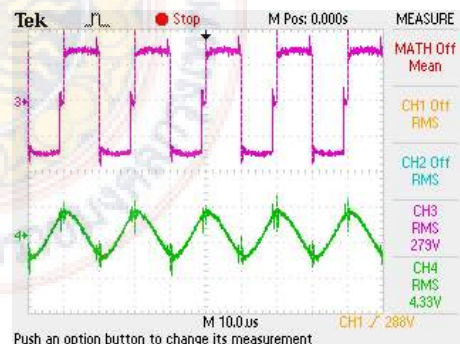
ภาพที่ 18 สัญญาณแรงดันและกระแสที่ออกจาก เอาร์พุต 1 ที่ค่าวัฏจักรหน้าที่ 50 เปอร์เซ็นต์ (v_o :200V/div, i_o :10V/div, Time:10 μ s /div)



ภาพที่ 17 สัญญาณขับไอลีบีที่ S2, S3 และ S5 (V_{GS2} :5V/div, V_{GS3} :5V/div, V_{GS5} :5V/div, Time :10 μ s /div)



ภาพที่ 19 วัดอุณหภูมิเอาร์พุต 1 ได้ประมาณ 99 องศาเซลเซียส ภายใน 3 นาที



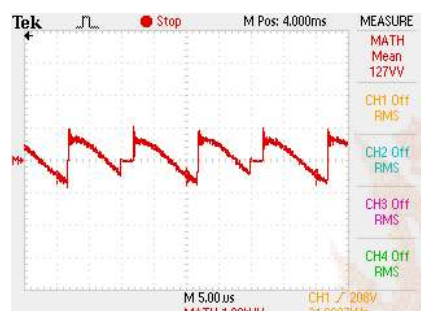
ภาพที่ 20 สัญญาณแรงดันและกระแสที่ออกจาก เอาร์พุต 2 ที่ค่าวัฏจักรหน้าที่ 50 % (v_o :200V/div, i_o :10V/div, Time:10 μ s /div)

3.2 การวัดค่าแรงดันและกระแสทางด้าน เอาร์พุต

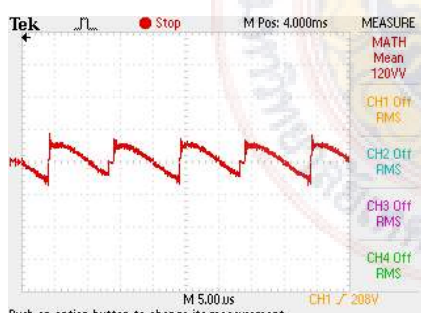
ทดสอบการวัดสัญญาณกระแส แรงดันไฟฟ้าและกำลังไฟฟ้า พร้อมกับวัดระดับความร้อนที่กระทะที่ความถี่ 40 กิโลเฮิรตซ์ แสดงดังภาพที่ 18-23 โดยใช้อุปกรณ์ Tektronix รุ่น TDS2004C และเครื่องวัดอุณหภูมิอินฟราเรด ยี่ห้อ CEM รุ่น DT-8835



ภาพที่ 21 วัดอุณหภูมิเอาต์พุต 2 ได้ 97 องศาเซลเซียส ภายใน 3 นาที



ภาพที่ 22 สัญญาณกำลังไฟฟ้าที่ออกจากเอาต์พุต 1 ที่ค่ารัฐจักรหน้าที่ 50 เปอร์เซ็นต์ (P_o : 1kW/div, Time : 5 μs /div, v_o : 200V/div, i_o : 10V/div)



ภาพที่ 23 สัญญาณกำลังไฟฟ้าที่ออกจากเอาต์พุต 2 ที่ค่ารัฐจักรหน้าที่ 50 เปอร์เซ็นต์ (P_o : 1kW/div, Time : 5 μs /div, v_o : 200V/div, i_o : 10V/div)

จากการทดสอบเทาเนี้ยวนำไฟฟ้าสองเอาต์พุตที่ปรับกำลังแยกอิสระโดยใช้การควบคุมการทำงานอินเวอร์เตอร์ชนิดแหล่งจ่ายแรงดันแบบแบนเต็มบริดจ์ สามารถปรับระดับความร้อนของเอาต์พุตทั้งสองได้ 5 ระดับตั้งแต่ระดับที่ 5 โดยการปรับค่ารัฐจักรหน้าที่

ไมโครคอนโทรลเลอร์ สามารถใช้สร้างสัญญาณควบคุมวงจรอินเวอร์เตอร์ชนิดแหล่งจ่ายแรงดันแบบเต็มบริดจ์ที่มีไอจีบีที่ 6 ตัวได้ และสามารถแก้ไขคำสั่งเพื่อปรับความถี่ ค่ารัฐจักรหน้าที่ และช่วงเวลาิกต์ได้โดยโปรแกรมไมโครคอนโทรลเลอร์ ทำให้อุณหภูมิของความร้อนที่เพิ่มหรือลดลงตามความต้องการได้และปรับใช้เคิลทั้งซีกบวกและลบได้ผลตามทฤษฎีที่นำเสนอ

4. สรุปผลการทดลอง

จากการทดลองปรับค่ารัฐจักรหน้าที่เราจะได้ค่าอุณหภูมิที่ต้องการในการทำความร้อน 5 ระดับ ซึ่งได้ทดลองจากการให้ความร้อนหม้อต้ม สามารถใช้กับแรงดันไฟฟ้ากระแสสลับ 1 เฟส 200โวลต์ 50 เฮิรตซ์ได้ ระบบวิธีการควบคุมที่นำเสนอสามารถรักษาระดับอุณหภูมิสวิตช์หลัก S1 และ S2 ได้ใกล้กันไม่เกิน 20 เปอร์เซ็นต์โดยอยู่ที่ประมาณ 60 และ 65 องศาเซลเซียสที่กำลังไฟฟ้าเอาต์พุต 1 เท่ากับ 400 วัตต์ และเอาต์พุต 2 เท่ากับ 600 วัตต์ ซึ่งสามารถแบ่งภาระกระแสที่สวิตช์หลักได้ใกล้เคียงกันอีกด้วย

5. อ้างอิง

- [1] Artigas JI, Urriza I, Acero J, et al. Power Measurement by Output-Current Integration in Series Resonant Inverters.

- [1] IEEE Transaction on Industrial Electronics. 2009; 56(2):559 - 67.
- [2] José MB, Fernando M, José RG, et al. A Two - Output Series-Resonant Inverter for Induction – Heating Cooking Appliances. IEEE Transaction on Industrial Electronics. 2005; 20(4):815 - 22.
- [3] Pansuwan T, Nuchkamnead R, Chuchaloem K, et al . Bidirectional Converter with Duty Cycle Control using Solar Energy for CCTV. Electrical Engineering Network of Rajamangala University of Technology EENET 7th; 2015 May 27-29; Chonburi, Thailand. Bangkok; 2015.
- [4] Kim JG, Park SW, Kim YH, et al. Bidirectional Soft Switching DC-DC Converter. 2010 International Power Electronics Conference. 2010 June 21-24; Japan; 2010.
- [5] Chudjuarjeen S, Jayasuriya S, Yachiangkam S, et al. Analysis of Measurement Delay Errors in a DC-DC Buck-Boost Converter using Stochastic Differential Equations. 37th Annual Conference of the IEEE Industrial Electronics Society (IECON 2011). 2011 Nov 7-10; Melbourne, Australia; 2011.
- [6] Chuang YC. High-Efficiency ZCS Buck Converter for Rechargeable Batteries. IEEE Trans Ind Electron. 2010; 57(7):2463–72.
- [7] Cheng HL, Lin CW .Design and Implementation of a High-Power Factor LED Driver with Zero-Voltage Switching-On Characteristics. IEEE Trans Power Electron. 2014; 9(9):4949–58.
- [8] Inoue S, Akagi H. A bidirectional dc-dc converter for an energy storage system with galvanic isolation. IEEE Trans Power Electron. 2007; 22(6): 2299–2306.
- [9] Zhu L. A novel soft-commutating isolated boost full-bridge ZVSPWM DCDC converter for bidirectional high power applications. IEEE Trans Power Electron. 2006; 2 (2):422–29.
- [10] Lee J, Jo J, Choi S, et al. A 10-kw SOFC low-voltage battery hybrid power conditioning system for residential use. IEEE Trans Energ Convers. 2006; 21(2):575–85.
- [11] Chiu HJ, Lin LW. A bidirectional DCDC converter for fuel cell electric vehicle driving system. IEEE Trans Power Electron. 2006; 21(4):950–58.
- [12] Zhao Q, Lee FC. High-efficiency, high step-up DCDC converters. IEEE Trans Power Electron. 2003; 18(1):65–73.
- [13] Schuch L, Rech C, Hey HL, et al. Analysis and design of a new high-efficiency bidirectional integrated ZVT PWM converter for DC-bus and battery-bank interface. IEEE Trans Ind Appl. 2006; 42(5):1321–32.

- [14] Tan NM, Abe T, Akagi H. Design and performance of a bidirectional isolated DC-DC converter for a battery energy storage system. *IEEE Trans Power Electron.* 2012; 27(3):1237-1248.
- [15] Wang K, Lin CY, Zhu L, et al. Bidirectional dc/dc converters for fuel cell systems. *IEEE Trans Power Electron.* 1998; 21(4):47–51.
- [16] Peng FS, Li H, Su GJ, et al. A new ZVS bidirectional DC-DC converter for fuel cell and battery application. *IEEE Trans Power Electron.* 2004; 19(1):54 – 65.
- [17] Inoue S, Akagi H. A bidirectional dc-dc converter for an energy storage system with galvanic isolation. *IEEE Trans Power Electron.* 2007; 22(6):2299-2306.

